

Figura 6.20. Fractografía de la probeta 6-A1; buen comportamiento a tracción.

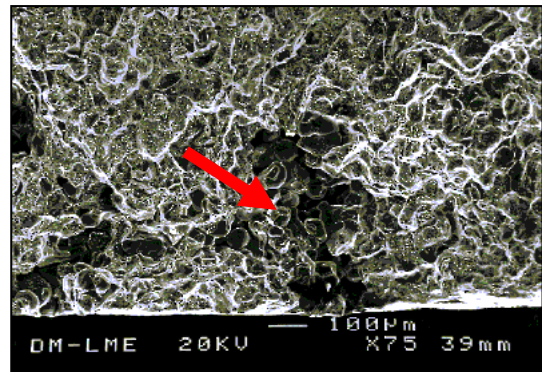


Figura 6.21. Fractografía de la probeta 6-B2, zona con porosidad de contracción; mal comportamiento a tracción.

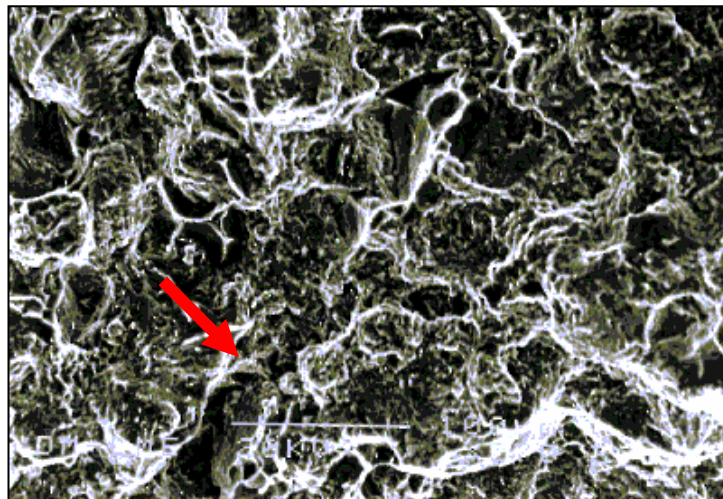


Figura 6.22. Fractografía de la probeta 6-B2, porosidad de contracción; mal comportamiento a tracción.

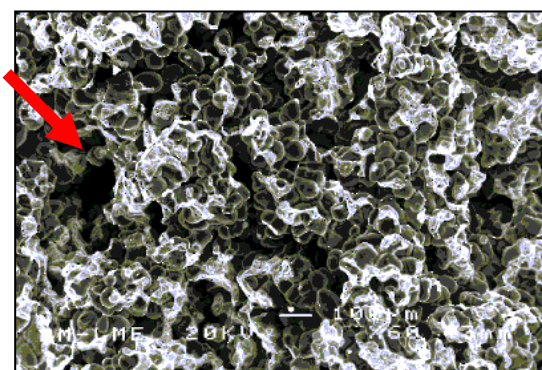


Figura 6.23. Fractografía de la probeta 1-C2, porosidad de contracción; mal comportamiento a tracción

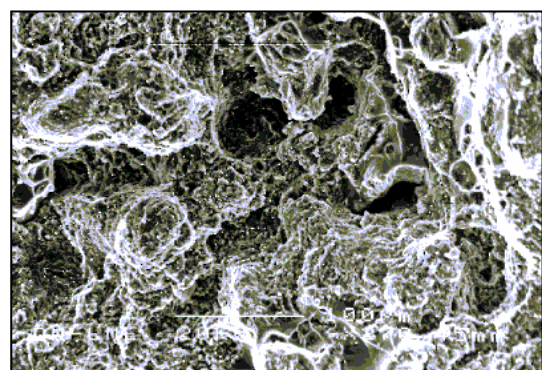


Figura 6.24. Fractografía de la probeta 1-C4, fractura dúctil; buen comportamiento a tracción.

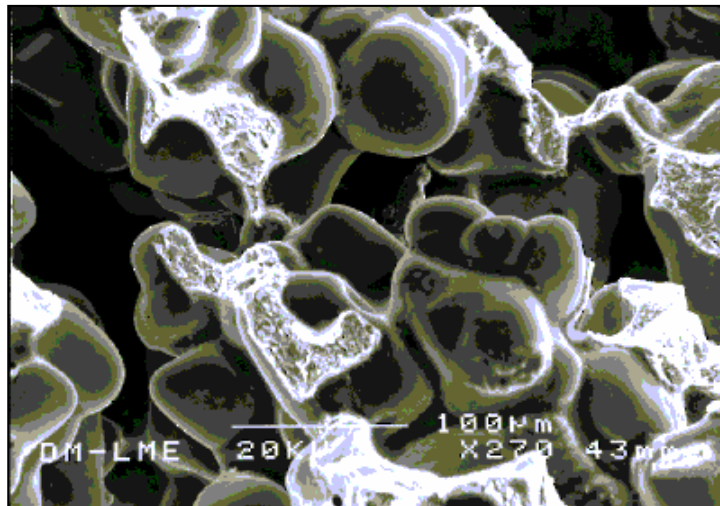
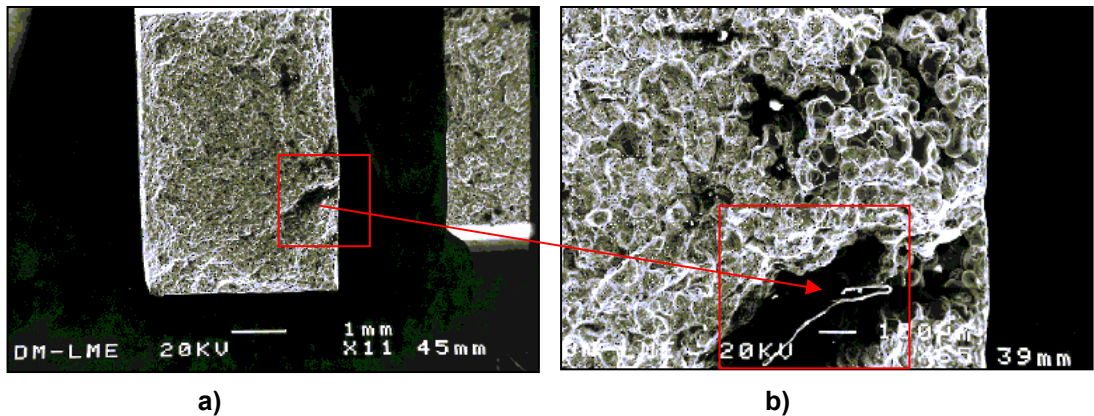


Figura 6.25. Fractografía de la probeta 1-C2, micro-rechufe; mal comportamiento a tracción.



a)

b)

Figura 6.26. a) Fractografía de la probeta 6-C3 con macrorrechufe; mal comportamiento a tracción. b) detalle de la anterior.

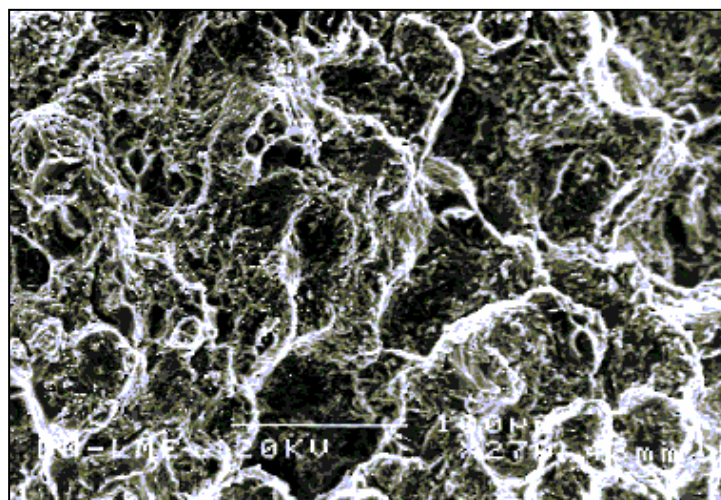


Figura 6.27. Vista general de la fractura en probeta 6-C5 con buen comportamiento a tracción.